

УДК 621.314.5

**ИССЛЕДОВАНИЕ ВЛИЯНИЯ АМПЛИТУДЫ  
ВЫХОДНОГО ТОКА НА ЧАСТОТУ  
ПЕРЕКЛЮЧЕНИЯ КЛЮЧА В СХЕМЕ  
ИНДУКТИВНО-КЛЮЧЕВОГО  
ФОРМИРОВАТЕЛЯ ТОКА**

В.В. Гребенников, Е.В. Ярославцев

Томский политехнический университет

E-mail: grebennikovvv@tpu.ru

**Гребенников Виталий Владимирович**, канд. техн. наук, доцент кафедры промышленной и медицинской электроники Института неразрушающего контроля ТПУ.

E-mail: grebennikovvv@tpu.ru  
Область научных интересов: высокоэффективные преобразователи электрической энергии.

**Ярославцев Евгений Витальевич**, канд. техн. наук, доцент кафедры промышленной и медицинской электроники Института неразрушающего контроля ТПУ.

E-mail: grebennikovvv@tpu.ru  
Область научных интересов: высокоэффективные преобразователи электрической энергии.

Представлены приближенные аналитические выражения для определения временных параметров переходных процессов в схеме индуктивно-ключевого формирователя квазисинусоидального тока, позволяющие предъявить требования к частотным свойствам и определить динамические потери ключа. Отражены результаты исследования влияния амплитуды выходного тока формирователя на изменения частоты переключения ключа в процессе формирования квазисинусоидального тока. Полученные данные важны при проектировании формирователей тока подобного типа.

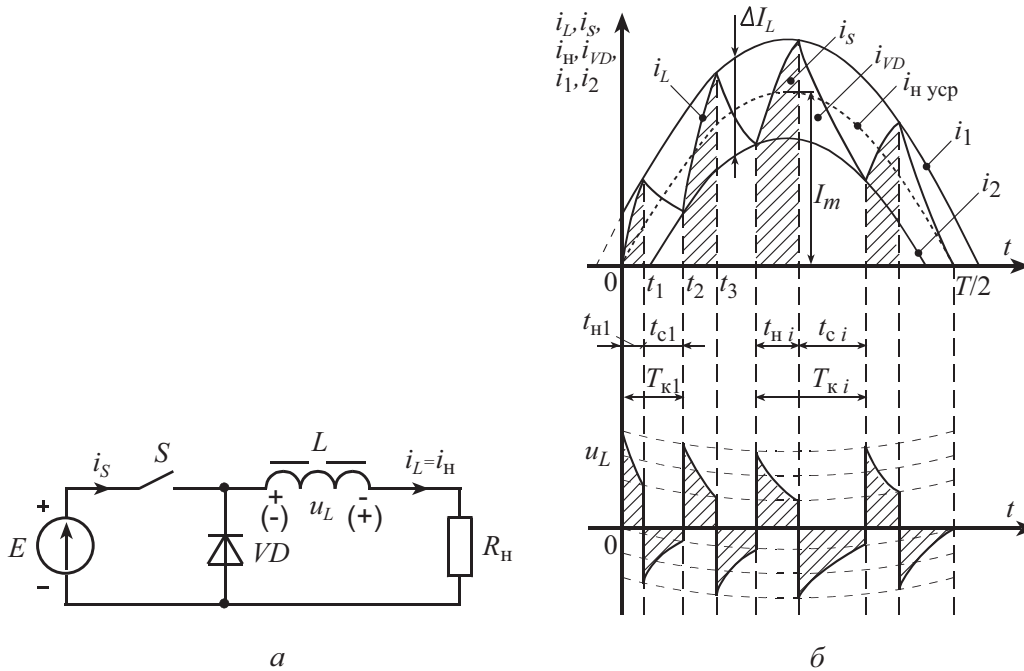
**Ключевые слова:**

Источник питания, формирователь тока, квазисинусоидальный ток, электрохимические технологии.

В ряде случаев для повышения эффективности электрохимических процессов (электрокоагуляция, электродиализация, селективное извлечение металлов и др.) целесообразно использовать источники питания на базе индуктивно-ключевого формирователя квазисинусоидального асимметричного тока [1, 2]. При проектировании формирователя тока для рационального выбора элементной базы предъявляются требования к частотным свойствам, и определяются динамические потери в ключах схемы, для чего используются соответствующие расчетные соотношения. Точные выражения для расчета указанных параметров получены в работе [1], однако они являются трансцендентными, неудобными для практического использования, поскольку для получения конкретного результата требуется применение специального математического аппарата. Для упрощения процедуры расчета целесообразно получить более простые приближенные аналитические выражения, позволяющие с допустимой погрешностью рассчитать потери в ключах и предъявить требования к их частотным свойствам.

Схема индуктивно-ключевого формирователя квазисинусоидального асимметричного тока достаточно сложна [1], однако для решения поставленной задачи достаточно рассмотреть процесс формирования одной полуволны тока, что реализуется в упрощенном варианте схемы, представленном на рис. 1, а.

Принцип действия формирователя аналогичен используемому в активных корректорах коэффициента мощности [3]. Принципиальное отличие состоит в том, что в корректорах квазисинусоидальный ток формируется во входной цепи, а в рассматриваемой далее схеме – в выходной цепи (нагрузке) преобразователя постоянного напряжения в однополярный ток заданной формы.



**Рис. 1.** Принципиальная схема индуктивно-ключевого формирователя однополярного тока (а) и диаграммы токов и напряжений (б)

Формирование квазисинусоидального тока в нагрузке осуществляется путем регулирования по заданному закону длительностей открытого и закрытого состояния ключа  $S$  и, соответственно, тока дросселя  $L$  и поясняется диаграммами токов и напряжений, приведенными на рис. 1, б. Для наглядности частота переключений ключа выбрана относительно невысокой.

Предположим, что на временном интервале  $T/2$  для формирования заданной полуволны тока требуется  $N$  циклов работы ключа, каждый из которых состоит из двух переходных процессов: нарастания и спада тока дросселя, соответственно. Обозначим номер текущего цикла буквой  $i$ , причем  $i = 1 \dots N$  – целое число. Присвоим параметрам тока, напряжения и времени индексы: буквенный индекс «н» или «с» – указывает на этап нарастания или спада  $i_L(t)$ , соответственно; числовой индекс соответствует номеру рассматриваемого цикла.

При описании принципа действия схемы и выводе расчетных соотношений воспользуемся допущениями: источник  $E$  является идеальным источником напряжения; вентиль  $VD$  и ключ  $S$  – идеальны; активные потери в элементах схемы отсутствуют; дроссель  $L$  является линейным элементом; нагрузка  $R_n$  постоянна и носит чисто активный характер; длительность текущего  $i$ -го цикла работы ключа  $T_{ki}$  много меньше периода формируемой синусоиды, т. е.  $T_{ki} \ll T$ ; за время текущего цикла работы ключа выходное напряжение формирователя  $U_{ni} \approx \text{const}$  не меняется; ток нагрузки меняется по синусоидальному закону, т. е. его пульсации, обусловленные переключениями ключа, бесконечно малы.

Введем обозначения:  $i_{n \text{ уср}}(t) = i_{L \text{ уср}}(t) = I_m \sin \omega t$  – усредненное значение тока дросселя и нагрузки, в идеале представляющего собой заданную полуволну синусоиды с амплитудой  $I_m$ , угловой частотой  $\omega$  и периодом  $T$ ;  $i_1(t), i_2(t)$  – верхний и нижний пороговые уровни, соответственно, ограничивающие пульсации тока дросселя относительно значения  $i_{n \text{ уср}}(t)$ :

$$\left. \begin{aligned} i_1(t) &= 0,5\Delta I_L + i_{n \text{ уср}}(t) = 0,5\Delta I_L + I_m \sin \omega t, \\ i_2(t) &= -0,5\Delta I_L + i_{n \text{ уср}}(t) = -0,5\Delta I_L + I_m \sin \omega t \end{aligned} \right\}; \quad (1)$$

$\Delta I_L = i_1(t) - i_2(t)$  – заданный размах пульсаций тока дросселя;  $K_{пл} = \Delta I_L / I_m$  – коэффициент пульсаций тока дросселя и нагрузки;  $U_{mн} = I_m R_n$  – усредненная амплитуда напряжения на нагрузке;  $U^* = U_{mн} / E$  – нормированная амплитуда выходного напряжения;  $\tau = L / R_n$  – постоянная времени цепи;  $\tau^* = \tau / T$  – относительная постоянная времени;  $\delta = 1 / \tau^* = T / \tau$  – обратная величина относительной постоянной времени или коэффициент затухания переходного процесса, показываю-

щий во сколько раз период синусоиды превышает постоянную времени;  $t_{hi}^* = t_{hi}/T$  – относительное время нарастания тока дросселя;  $T_{ki}^* = 1/f_{ki}^* = T_{ki}/T$  – относительная длительность цикла;  $t_{ci}^* = t_{ci}/T$  – относительное время спада тока дросселя;  $f_{ki}^* = f_{ki}/f = 1/T_{ki}^*$  – относительная локальная частота переключения.

Пусть в момент времени  $t = 0$  ключ  $S$  замыкается. К последовательно включенным  $L$  и  $R_n$  и обратному диоду  $VD$  прикладывается напряжение  $E$ , под действием которого  $VD$  заперт. В этот момент ток дросселя  $i_L(t)$ , а, соответственно, и ток нагрузки, равны нулю, следовательно, все напряжение источника  $E$  прикладывается к дросселю с положительной полярностью, указанной на рис. 1, *a* без скобок. С учетом принятых допущений ( $T_{ki} \ll T \Rightarrow U_{hi} \approx \text{const}$ ) ток  $i_L(t)$  начинает возрастать по линейному закону. Индуктивность дросселя выбрана такой, чтобы скорость увеличения тока  $i_L(t)$  превышала скорость роста  $i_{n\text{уср}}(t)$  с некоторым запасом. В момент времени  $t_1$  ток дросселя достигает верхнего порогового уровня  $i_1(t_1)$ , и ключ  $S$  размыкается. Полярность напряжения на обмотке  $L$  меняется на противоположную, указанную на рис. 1, *a* в скобках. Замыкаясь через нагрузку и открытый обратный диод, ток дросселя линейно уменьшается. Достигнув нижнего порогового уровня  $i_2(t_2)$  в момент времени  $t_2$ , ключ  $S$  вновь замыкается, и ток дросселя снова начинает возрастать. Далее описанные процессы циклически повторяются. Таким образом, в результате большого числа циклов работы ключа в нагрузке формируется ток, усредненное (аппроксимированное) значение которого (на рис. 1, *b* показано пунктирной линией) соответствует полуволне синусоидального сигнала.

Для получения основных расчетных соотношений проведем анализ переходных процессов в рассматриваемой схеме [4].

Рассмотрим некоторый  $i$ -й цикл работы ключа (рис. 1, *a*), имеющий место при  $t_i$  – фиксированный момент времени из диапазона  $0 - T/2$ , в который совершается  $i$ -й цикл работы формирователя. С учетом допущений ток нагрузки в этот момент имеет вполне определенное значение

$$i_{ni}(t_i) = I_m \sin \omega t_i.$$

На этапе нарастания тока дросселя в рассматриваемом цикле ключ  $S$  замкнут, и к дросселю приложено постоянное по величине положительное напряжение (полярность на рис. 1, *a* указана без скобок)

$$U_{Lni} = E - i_{ni}(t_i)R_n = \text{const}. \quad (2)$$

После размыкания ключа на этапе спада в этом же цикле ток замыкается через обратный диод  $VD$ , а напряжение на дросселе меняет знак (полярность напряжения показана на рис. 1, *a* в скобках) и становится равным

$$U_{Lci} = -i_{ni}(t_i)R_n = -U_{mн} \sin \omega t_i = \text{const}. \quad (3)$$

Как известно, напряжение и ток дросселя связаны между собой соотношением [4]

$$u_L(t) = L \frac{di_L(t)}{dt}, \quad (4)$$

из которого следует, что, если напряжение, приложенное к дросселю, постоянно, то ток дросселя меняется по линейному закону:

$$i_L(t) = I_L(0) + \frac{U_L}{L}t,$$

где  $I_L(0)$  – независимое начальное условие для переходного процесса.

С учетом последнего уравнения и выражений (2) и (3) законы изменения тока дросселя в  $i$ -м цикле приобретают вид (начало отсчета времени переносим в момент переключения ключа):

$$i_{Lni}(t) = I_{Lni}(0) + \frac{U_{Lni}}{L}t = I_{Lni}(0) + \frac{E - U_{mн} \sin \omega t_i}{L}t,$$

$$i_{Lci}(t) = I_{Lci}(0) + \frac{U_{Lci}}{L}t = I_{Lci}(0) - \frac{U_{mн} \sin \omega t_i}{L}t.$$

Независимые начальные условия для этапов нарастания и спада с учетом уравнений (1) определяются выражениями:

$$I_{L_{hi}}(0) = i_2(t_i) = -\frac{\Delta I_L}{2} + I_{m_{н}} \sin \omega t_i,$$

$$I_{L_{ci}}(0) = i_1(t_i) = \frac{\Delta I_L}{2} + I_{m_{н}} \sin \omega t_i.$$

Представим в формуле (4) дифференциалы времени и тока в виде приращений при постоянном напряжении на дросселе

$$U_L(t) = L \frac{\Delta i_L}{\Delta t} = const; \quad (5)$$

Обозначив  $\Delta t = t_{hi}$  – для этапа нарастания,  $\Delta t = t_{ci}$  – для этапа спада, подставляем указанные параметры в (5), и, используя выражения (2) и (3), после преобразований получаем:

$$t_{hi} = \frac{\Delta I_L L}{E - U_{m_{н}} \sin \omega t_i} = \frac{K_{пл} \tau U^*}{1 - U^* \sin \omega t_i},$$

$$t_{ci} = \frac{\Delta I_L L}{| -U_{m_{н}} | \sin \omega t_i} = \frac{K_{пл} \tau}{\sin \omega t_i},$$

$$T_{ki} = t_{hi} + t_{ci} = \frac{K_{пл} \tau}{\sin \omega t_i - U^* \sin^2 \omega t_i},$$

$$f_{ki} = \frac{1}{T_{ki}} = \frac{\sin \omega t_i - U^* \sin^2 \omega t_i}{K_{пл} \tau}.$$

Используя ранее принятые обозначения, представим полученные параметры в безразмерном виде:

$$t_{hi}^* = \frac{t_{hi}}{T} = \frac{K_{пл} \cdot U^*}{\delta \cdot (1 - U^* \sin \omega t_i)}, \quad (6)$$

$$t_{ci}^* = \frac{t_{ci}}{T} = \frac{K_{пл}}{\delta \cdot \sin \omega t_i}, \quad (7)$$

$$T_{ki}^* = \frac{T_{ki}}{T} = \frac{K_{пл}}{\delta \cdot (\sin \omega t_i - U^* \sin^2 \omega t_i)}, \quad (8)$$

$$f_{ki}^* = \frac{f_{ki}}{f} = \frac{\delta (\sin \omega t_i - U^* \sin^2 \omega t_i)}{K_{пл}}. \quad (9)$$

Наиболее важными для практики являются сведения о локальной частоте переключения ключа  $f_k^*$  на полупериоде формируемой синусоиды, позволяющей определить требования, предъявляемые к частотным свойствам ключей, и оценить величину динамических потерь в них.

Приближенное выражение (9) позволяет весьма просто проследить тенденции изменения частоты переключения ключа на полупериоде синусоиды при изменении нормированной амплитуды выходного напряжения  $U^*$ . На рис. 2 представлены зависимости, полученные по выражению (9). Видно, что три локальных экстремума (2 максимума и 1 минимум) наблюдаются при значениях  $U^* > 0,5$ ; при  $U^* \leq 0,5$  имеет место единственный локальный экстремум – максимум.

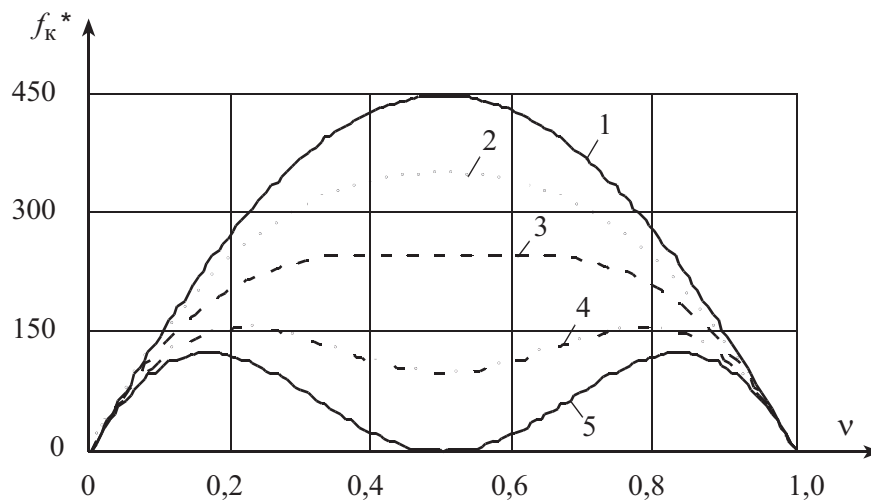
Поскольку максимальная частота переключения ключа является важной с точки зрения выбора элементов величиной, целесообразно определить значения указанных экстремумов. Продифференцировав уравнение (9) по параметру  $\omega t = v$  и приравняв результат к нулю, найдем корни полученного уравнения, соответствующие искомым экстремумам:

$$v_1 = \pi/2; \quad (10)$$

$$v_2 = \arcsin(1/2U^*); \quad (11)$$

$$v_3 = \pi - \arcsin(1/2U^*). \quad (12)$$

Анализ выражений (10)–(12) показал, что корни  $\nu_2$  и  $\nu_3$  существуют только для значений  $U^* \geq 0,5$ , а корень  $\nu_1$  – для всех значений из диапазона  $0 \leq U^* \leq 0,5$ .



**Рис. 2.** Зависимости относительной локальной частоты переключения ключа от относительной текущей фазы при  $K_{пл} = 0,2$ ,  $\delta = 100$  и различных  $U^*$ : 1 –  $U^* = 0,1$ ; 2 –  $U^* = 0,3$ ; 3 –  $U^* = 0,5$ ; 4 –  $U^* = 0,8$ ; 5 –  $U^* = 1,0$

Получим выражения для расчета относительной частоты переключения ключа в экстремальных точках. Для нахождения экстремумов частоты при  $U^* \geq 0,5$  в уравнение (9) подставляем корни  $\nu_1$ ,  $\nu_2$ ,  $\nu_3$ . После преобразований для первого и второго максимумов частоты переключения ключа получаем:

$$f_{k \max 1}^* = \frac{f_{k \max 1}}{f} = \frac{f_{k \max 2}}{f} = \frac{\delta}{4U^* K_{пл}}, \quad (13)$$

а выражение для локального минимума имеет вид:

$$f_{k \min}^* = \frac{f_{k \min}}{f} = \frac{\delta(1-U^*)}{K_{пл}}. \quad (14)$$

Подставляя корень  $\nu_1$  в уравнение (9), получаем выражение для определения единственного максимума частоты переключения ключа при  $U^* \leq 0,5$ :

$$f_{k \max}^* = \frac{f_{k \max}}{f} = \frac{\delta(1-U^*)}{K_{пл}}. \quad (15)$$

Выражения (14) и (15) идентичны. Это позволяет утверждать, что при изменении  $U^*$  от 0 до 1 максимум перерождается в минимум, причем граничный случай наблюдается при  $U^* = 0,5$ , когда  $f_{k \min}^* = f_{k \max}^*$ .

Уравнения (6)–(15) являются удобными для анализа, но приближенными, и могут служить для «качественной» оценки влияния того или иного параметра на длительность переходного процесса. Сравнение результатов расчетов максимальных частот, проведенных по приближенным формулам, с результатами, полученными при использовании точных формул [1], показало, что погрешность не превышает 10 %, если количество циклов переключения ключа составляет  $N \geq 12$  при любом  $U^*$  и  $K_{пл} \leq 0,3$ .

### Выводы

1. В результате проведенного анализа индуктивно-ключевого формирователя однополярного квазисинусоидального тока получены приближенные расчетные соотношения, определяющие временные параметры переходных процессов в схеме. Полученные относительно

- простые выражения позволяют проследить тенденции и характер изменения временных параметров переходных процессов, происходящих в выходной цепи формирователя квазисинусоидального тока и произвести их расчет для заданных параметров нагрузки и тока.
- Исследование показало, что при  $U^* > 0,5$  функция относительной локальной частоты переключения ключа от относительной текущей фазы имеет три локальных экстремума – два максимума и один минимум; при  $U^* < 0,5$  у функции наблюдается единственный экстремум – максимум, превышающий по величине максимальные частоты, характерные для случая  $U^* > 0,5$ .

#### СПИСОК ЛИТЕРАТУРЫ

- Гребенников В.В. Индуктивно-ключевой формирователь асимметричного квазисинусоидального тока для электрохимических технологий: дис. ... канд. техн. наук. – Томск, 2006. – 169 с.
- Багинский Б.А., Гребенников В.В., Нигоф Б.М. Огородников Д.Н., Ярославцев Е.В. Модуляционный формирователь квазисинусоидального асимметричного тока // Приборы и техника эксперимента. – 2001. – № 2. – С. 121–123.
- Зиновьев Г.С. Основы силовой электроники. – Изд. 2-е, испр. и доп. – Новосибирск: Изд-во НГТУ, 2003. – 664 с.
- Попов В.П. Основы теории цепей. – Изд. 3-е, испр. – М.: Высшая школа, 2000. – 575 с.

Поступила 24.08.2012 г.